

## ORIGINAL ARTICLE

***Mycobacterium Tuberculosis Genotyping Using MIRU-VNTR Typing***

Taher Azimi<sup>1</sup>,  
 Aref Shariati<sup>1</sup>,  
 Fatemeh Fallah<sup>2</sup>,  
 Abbas Ali Imani Fooladi<sup>3</sup>,  
 Ali Hashemi<sup>4</sup>,  
 Hossein Goudarzi<sup>2</sup>,  
 Mohammad Javad Nasiri<sup>5</sup>

<sup>1</sup> MSc Student in Microbiology, School of Medicine, Shahid Beheshti University of Medical Sciences, Tehran, Iran

<sup>2</sup> Professor, Department of Microbiology, School of Medicine, Shahid Beheshti University of Medical Sciences, Tehran, Iran

<sup>3</sup> Professor, Applied Microbiology Research Center, Baqiyatallah University of Medical Sciences, Tehran, Iran

<sup>4</sup> Assistant Professor, Department of Microbiology, School of Medicine, Shahid Beheshti University of Medical Sciences, Tehran, Iran

<sup>5</sup> Assistant Professor, Infectious Diseases and Tropical Medicine Research Center, Shahid Beheshti University of Medical Sciences, Tehran, Iran

(Received Jan 11, 2016 Accepted April 23, 2017)

**Abstract**

**Background and purpose:** Tuberculosis is among the leading causes of death from infectious diseases in the world. According to World Health Organization (WHO), the estimated rate of TB in Iran was 21 per 100,000 populations in 2015. The present study was designed to evaluate the genetic diversity and transmission dynamics of *Mycobacterium tuberculosis* in Tehran, Iran.

**Materials and methods:** A total of 80 isolates of *Mycobacterium tuberculosis* was cultured from TB patients attending a teaching hospital in Tehran, Iran from January 2015 to December 2016. Standard 15-locus Mycobacterial Interspersed Repeat Units/Variable Numbers of Tandem Repeat (MIRU-VNTR) typing was applied to genotype clinical isolates.

**Results:** There were 78 different VNTR profiles comprising 2 clusters and 76 unique patterns. The Hunter – Gaston discriminatory index (HGDI) was 0.990, indicating a high power of discrimination for MIRU-VNTR typing. The QUB26 and MTUB21 loci were designated as highly discriminative.

**Conclusion:** The high genetic diversity among *Mycobacterium tuberculosis* isolates suggests that transmission may have been caused by different sources.

**Keywords:** *Mycobacterium tuberculosis*, genotyping, MIRU-VNTR, Tehran, Iran

J Mazandaran Univ Med Sci 2017; 27 (149): 40-48 (Persian).

## تعیین ساختار ژنتیکی مایکروباکتریوم توبرکلوزیس به روش *MIRU-VNTR 15 loci*

طاهر عظیمی<sup>۱</sup>

عارف شریعتی<sup>۱</sup>

فاطمه فلاح<sup>۲</sup>

عباسعلی ایمانی فولادی<sup>۳</sup>

علی هاشمی<sup>۴</sup>

حسین گودرزی<sup>۲</sup>

محمد جواد نصیری<sup>۵</sup>

### چکیده

**سابقه و هدف:** سل یکی از علل اصلی مرگ و میر ناشی از بیماری‌های عفونی در جهان است. در ایران، بر اساس آمار سازمان بهداشت جهانی (WHO)، میزان بروز سل 21 نفر در هر یکصد هزار نفر در سال 2015 گزارش شده است. مطالعه حاضر به منظور بررسی نوع ژنتیکی و نحوی انتقال مایکروباکتریوم توبرکلوزیس در شهر تهران، طراحی گردید.

**مواد و روش‌ها:** تعداد 80 ایزوله مایکروباکتریوم توبرکلوزیس از بیماران مبتلا به سل مراجعه کننده به یکی بیمارستان‌های آموزشی شهر تهران، از بهمن 1393 تا دی 1395 جدا شد. از روش استاندارد MIRU-VNTR برای ژنتیک ایزوله‌های جدا شده استفاده شد.

**یافه‌ها:** تعداد 78 پروفایل مختلف VNTR شامل 2 کلاستر و 76 الگوی منحصر به فرد بدست آمد. میزان شاخص HGDI برابر با 0/990 و نشان دهنده قدرت بالای افتراق روش MIRU-VNTR بود. لوکوس‌های QUB26 و MTUB21 به عنوان لوکوس‌های با قدرت افتراق بالا شناخته شدند.

**استنتاج:** نوع ژنتیکی بالا در میان ایزوله‌های مایکروباکتریوم توبرکلوزیس بیانگر آن است که انتقال این ایزوله‌ها ممکن است از منابع مختلف رخ داده باشد.

**واژه‌های کلیدی:** مایکروباکتریوم توبرکلوزیس، ژنتیک ایزوله، MIRU-VNTR، تهران، ایران

### مقدمه

میلیون نفر نیز به دلیل ابتلا به این بیماری جان خود را از دست می‌دهند<sup>(۱)</sup>. طبق گزارش سازمان بهداشت جهانی (WHO)، میزان بروز بیماری سل در سال 2015 در ایران، 21 نفر در هر 100000 نفر گزارش شده است<sup>(۲)</sup>. شیوع بیماری سل در بعضی از کشورهایی که هم مرز با ایران هستند، 2 الی 3 برابر بیش تراز این مقدار می‌باشد<sup>(۳)</sup>. در شهر تهران نیز به عنوان پایتحت ایران و

بیماری سل توسط مایکروباکتریوم توبرکلوزیس ایجاد می‌شود و به عنوان یکی از عوامل اصلی مرگ و میر ناشی از بیماری‌های عفونی در سراسر جهان شناخته شده است<sup>(۴)</sup>. علی‌رغم وجود داروهای ضد سلی موثر، این بیماری به عنوان یک چالش بزرگ جهانی است و تخمین زده می‌شود که سالانه بیش از 9 میلیون نفر در جهان به فرم فعل این بیماری مبتلا می‌شوند و 1/5

Email: mj.nasiri@hotmail.com

**مؤلف مسئول:** محمدجواد نصیری - تهران، خیابان کردکیار، دانشگاه علوم پزشکی شهید بهشتی

۱. دانشجویی کارشناسی ارشد میکروب شناسی، دانشکده پزشکی، دانشگاه علوم پزشکی شهید بهشتی، تهران، ایران

۲. استاد، گروه میکروب شناسی، دانشکده پزشکی، دانشگاه علوم پزشکی شهید بهشتی، تهران، ایران

۳. استاد، مرکز تحقیقات میکروب شناسی کاربردی، دانشگاه علوم پزشکی شهید بهشتی، تهران، ایران

۴. استاد بارگروه میکروب شناسی، دانشکده پزشکی، دانشگاه علوم پزشکی شهید بهشتی، تهران، ایران

۵. استاد بارگروه میکروب شناسی، دانشکده پزشکی، دانشگاه علوم پزشکی شهید بهشتی، تهران، ایران

۶. تاریخ دریافت: 1395/10/22 تاریخ ارجاع جهت اصلاحات: 1395/10/27 تاریخ تصویب: 1396/2/3

RFLP دارای قدرت افراق کمتری در بین ایزوله‌های مایکوباکتریوم توبرکلوزیس با تعداد کپی‌های کمتری از IS6110 می‌باشد (20-17). روش تایپینگ- MIRU mycobacterial interspersed repetitive (VNTR) (units-variable number of tandem repeats) دارای قدرت افتراق بیشتری بوده و تمايل کمتری به هموئیپلازی دارد و همراه با روش اسپولیکوتایپینگ، به عنوان ابزارهای مناسبی جهت ارزیابی پیشرفت بیماری سل در بین افراد آلوود به کار می‌رود (21-22). بنابراین هدف از انجام این مطالعه مشخص کردن الگوهای ژنتیکی سویه‌های مایکوباکتریوم توبرکلوزیس جداشده از بیماران بستری شده در یک مرکز آموزشی شهر تهران و همچنین مشخص کردن ژنوتایپ‌های غالب در این منطقه می‌باشد.

## مواد و روش‌ها

در مجموع 80 ایزوله‌ی مایکوباکتریوم توبرکلوزیس از بیماران بستری شده در یک مرکز آموزشی در شهر تهران از سال 1394-1395 جمع‌آوری گردید. هر یک از سویه‌های مورد بررسی در این مطالعه متعلق به یک بیمار مشخص بودند و همه ایزوله‌ها از طریق کشت نمونه‌های خلط و بال گرفته شده از بیماران به دست آمدند. بیماران مورد بررسی دارای محدوده سنی گسترده‌ای بودند و علائم و نشانه‌های بالینی بیماری سل را داشتند و اسمیر گرفته شده نیز جهت تشخیص باسیل اسید فست مثبت بود. ایزوله‌ها توسط تست‌های استاندارد بیوشیمیایی نظیر تولید نیاسین، تست کاتالاز، و تولید نیترات مشخص گردیدند. استخراج DNA نیز از کلونی‌ها به روش جوشانیدن (Boiling) انجام شد. برای تایید نهایی نمونه‌های استخراج شده DNA، روش اختصاصی IS6110 با استفاده از واکنش زنجیره‌ای پلی مراز (PCR) انجام یافته و همه‌ی DNA‌ی استخراج شده از کلونی‌ها به عنوان مایکوباکتریوم توبرکلوزیس تایید گردیدند. برای

پرجمعیت ترین شهر کشور، تخمین زده می‌شود که میزان ابتلا به بیماری سل، 21 مورد در هر 100000 نفر باشد. در طول سال‌های گذشته، افراد زیادی از شهرهای دیگر و همچنین بعضی از کشورهای هم مرز و مجاور به شهر تهران مهاجرت کرده اند و بیش از 450000 نفر از مهاجران افغانی هم اکنون در این شهر زندگی می‌کنند (6). عواملی نظیر نقص سیستم ایمنی، شیوع سویه‌های مقاوم به چند دارو (MDR) مایکوباکتریوم توبرکلوزیس، سالخوردگی افراد، به عنوان ریسک فاکتورهایی برای بیماری سل مطرح می‌باشند (7، 8). همچنین همسایگی با کشورهایی مثل افغانستان، پاکستان، ترکمنستان و عراق که شیوع بیماری سل در این کشورها بسیار بیشتر از ایران می‌باشد، باعث شده است که بیماری سل به عنوان یک مشکل مهم و اساسی در ایران باقی بماند (9، 10). در دهه‌های اخیر، ژنوتایپ بندی سویه‌های مایکوباکتریوم توبرکلوزیس، با تشخیص شیوع بیماری و به وسیله ردیابی عفونت، به طور چشمگیری اطلاعات ما را از اپیدمیولوژی بیماری سل افزایش داده است و معرفی روش‌های تایپینگ مولکولی نیز اطلاعات مورد نیاز جهت نشان دادن روش‌های انتقال و شیوع مایکوباکتریوم توبرکلوزیس را افزایش داده و باعث تغییر سیاست‌های کنترل ملی و محلی گردیده است (11-15). روش‌های مولکولی مانند اسپولیکوتایپینگ، MIRU-VNTR، IS6110-RFLP و ETR typing نیز که توالی کاملاً از ژنوم را آنالیز می‌کنند، جهت مشخص کردن ایزوله‌های بالینی مایکوباکتریوم توبرکلوزیس در کشور ایران مورد استفاده قرار می‌گیرند (16). روش Gold Standard در ژنوتایپ بندی عنوان روش مرسوم و سویه‌های مایکوباکتریوم توبرکلوزیس مطرح می‌باشد ولی از آنجایی که انجام این روش سخت بوده و نیازمند مقدار زمان زیادی برای کشت نمونه‌ها بوده و مقدار DNA بیشتری لازم می‌باشد، استفاده از این روش محدود شده است. علاوه بر این، روش IS6110-

ترسیم گردید. کلاسترها بر اساس فاصله مشخص از ۰ و الگوهای مشابه در ۱۵ لوکوس تعیین گردیدند. ضریب قطعی ۱ و فاصله مشخص ۰/۳ که مربوط به ۷ لوکوس مختلف بودند، جهت مشخص کردن سویه‌های مرتبط استفاده شد. الگوهای locus MIRU-VNTR-15 به دست آمده از مطالعه، با الگوهای موجود در پایگاه داده‌های جهانی، جهت مشخص کردن دودمان و ارتباط سویه‌های مایکروبکتریوم توبرکلوزیس مورد بررسی، مقایسه گردید و ساختن تنوع آلی VNTR، (h)، برای ارزیابی تنوع آلی لوکوس‌های مختلف تکرارهای تصادفی با تعداد متغیر (VNTR) مورد استفاده قرار گرفت.

جدول شماره ۱: شرایط دمایی PCR و پرایمرهای مورد استفاده در مطالعه

MIRU Locus	Primer sequences (5' to 3')	Annealing Temp C
MIRU 26	TAGGTCTACCGTCGAAATCTGTGAC AGCGGAATAG	58
MIRU 40	GGTTTGTCTGGATGACACGTCGTGGGT GATCTCGGGAAATCAAGATA	59
MIRU 10	GTTCTTGACCAACTGCACTGCGTCC GCCACCTTGGTGTACAGTACCT	62
MIRU 16	TCGGTGTACGTCAGTCAGAAGTA CCCGCTGTGAGGCCCTGGTAC	59
MIRU 4; ETR D	GCGGAGAGCCCCAACTGCG GCGCAGAACGGCAGCAGC	60
MIRU 31; ETR E	ACTGATTTGGCTCATACGGCTTTA GTGCCGACGTGGTCTTGTAT	60
Mtub04	CTTGCGGCQCATCAAGCCATTATT GGCACGAGGCCCTGGCTTC	60
ETR C	CGAGAGTGGCACTGGCGTGTATCT AATGACTTGAACGCCAAATTGTA	63
ETR A	AAATCGCTCCCACATCACCCTCTTAT CGAACGCCCTGGGTGCCCCGGATT	58/5
Mtub30	CTTGAAGGCCCGGTCTCATCTGT ACTTGAACCCCAACGCCCATAGTA	60
Mtub39	CGTGGAGGGGGATGAACTCTCTAG AGCGGCCACGGGGGGAAAGCTTAG	61
QUB-4156	TGACCGGAGGCTATGCTCTAGT GCCCGCTTCCATGTT	59
QUB-11b	CGTAAAGGGGGATGCCGGAAATAGG CGAAGTGAATGGTGGCAT	60
Mtub21	AGATCCCAAGTGTCTGCTGTCCAACAT CGCTGGTCTCTGTA	63
QUB-26	AACGCTCAGCTGTGGAT CGGGCGTGTGCCGCCAGGTCTTCCCG AT	58

## یافته‌ها

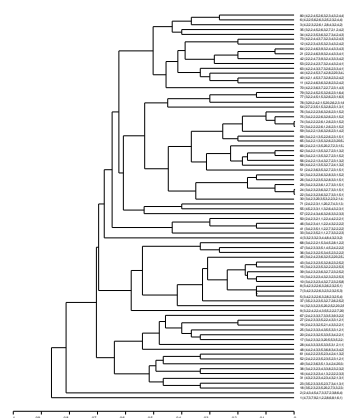
با استفاده از روش تایپینگ MIRU-VNTR15 با ۷۸ الگوی مختلف در میان ۸۰ ایزوله مایکروبکتریوم توبرکلوزیس تعیین گردید. این ۷۸ الگو در ۲ کلاستر که از ۴ سویه تشکیل شده اند و ۷۶ الگوی غیر مشابه توزیع شدند (جدول شماره ۲).

انجام MIRU-VNTR پرایمرهای اختصاصی جهت اتصال به نواحی متغیر تکراری مایکروبکتریوم VNTR (VNTR)، برای تکثیر نواحی VNTR مختلف از ۱۵ لوکوس طبق پروتوكل بیان شده توسط Supply و همکاران استفاده گردید (جدول شماره ۱). تعداد کپی‌های VNTR توسط اندازه هریک از نواحی تکثیر یافته مشخص گردید. واکنش زنجیره‌ای پلی مراز (PCR) در یک حجم ۲۵ میکرو لیتر که محتوی ۲/۵ میکرولیتر بافر PCR، ۱ میلی مولار MgCl<sub>2</sub> ۰/۰۱ پیکومولار از هریک از پرایمرهای F و R، ۲۰۰ میکرومولار dNTP، ۱ واحد از آنزیم polymerase(mi Taq, Metabion, Martinsried, Germany) و ۲ میکرولیتر از DNA الگوی می‌باشد، انجام شد. برنامه تکثیر واکنش زنجیره‌ای پلی مراز نیز در دستگاه بدین ترتیب بود: دناتوراسیون اولیه در دمای ۹۴ درجه سانتی گراد برای ۵ دقیقه، سپس ۹۴ درجه برای ۴۵ ثانیه، (دمای اتصال پرایمرهای بر اساس هر یک از لوکوس‌های ارزیابی شده متغیر بوده و در جدول شماره ۱ آمده است)، ۷۲ درجه به مدت ۹۰ ثانیه و در نهایت ۷۲ درجه به مدت ۱۰ دقیقه جهت تکثیر نهایی بوده است. برای کنترل آلدگی مواد و واکنش‌ها، آب مقطّر تزریقی به عنوان کنترل منفی استفاده گردید و در نهایت محصول PCR در ژل آگارز ۱/۵ درصد الکتروفورز شده و نتایج آنالیز گردید.

جهت آنالیز تنوع آلی VNTR و ارتباطات ژنتیکی، همه نتایج وارد یک فایل اکسل گردیده و سپس تنوع آلی هریک از لوکوس‌های VNTR توسط شاخص افتراقی Hunter Gaston ارزیابی گردید. ارتباطات ژنتیکی که بین ایزوله وجود داشت نیز با استفاده روش unweighted pair group unweighted pair group و همراه با نرم افزار MIRU-VNTR Plus software که فاصله‌های موجود در بین سویه‌ها را با توجه به تعداد کپی‌های VNTR محاسبه می‌کند، نشان داده شد. درخت فیلورژنیکی UPGMA نیز توسط نرم افزار عنوان شده

جهانی (http://www.miru-vntr.org) انجام یافت نشان داد که 3 مورد از سویه‌ها با 186 سویه‌ای که در پایگاه دیتا بیس جهانی وجود دارد مشابهت دارند. هم‌چنین قدرت افتراق روش MIRU-VNTR برای همه ایزوله‌ها بسیار بالا بود ( $HGDI=0/99$ ). بزرگ‌ترین کلاستر از دو سویه تشکیل شده بود و 76 ایزوله نیز دارای الگوهای غیر مشابه بودند. برمبانی شاخص تمایز و افتراق، 4 لوکوس MIRU در این مطالعه دارای قدرت افتراقی بالای MIRU26 ، MIRU10، MIRU(  $h>0/6$  ) که شامل (  $h\leq 0/6$  ) بودند، در این مطالعه دارای قدرت افتراقی بالای MIRU40، MIRU16 ، QUB11b ، MTUB30 ، MTUB39 ، MTUB04 ، QUB4156 ، MTUB21 ، QUB26 می‌باشد. هم‌چنین 9 لوکوس نیز قدرت افتراقی متوسطی (  $0/3\leq h\leq 0/6$  ) داشتند که به MIRU40، MIRU16 ، QUB11b ، MTUB30 ، MTUB39 ، MTUB04 ، QUB4156 ، MTUB21 ، QUB26 بسوده و در میان 15 لوکوس، ETRA ، ETRC لوکوس‌های ETRC و MIRU04 پایین‌ترین تنوع آلتی و لوکوس QUB26 بیش‌ترین تنوع آلتی را با استفاده از MIRU نشان داده‌اند. نتایج توزیع آلت‌های روش MIRU در جدول شماره 3 نشان داده شده است.

درخت فلورزنیکی توسط نرم افزار- MIRU درخت فلورزنیکی ترسیم گردید و با استفاده از MVSP و VNTR plus این دندروگرام ایزوله‌ای را با الگوهای ژنتیکی مشابه تشخیص داده و با همدیگر گروه‌بندی شد که در نمودار شماره 1 نشان داده شده است.



نمودار شماره 1: دندروگرام ترسیم شده برای 80 ایزوله مورد بررسی توسط نرم افزار MIRU-VNTR plus و MVSP

جدول شماره 2: الگوی 78 نوع پروفایل مختلف درین سویه‌های مورد بررسی

MIRU الگو	Frequency	MIRU الگو	فراتری
3.4.2.3.2.3.6.3.2.7.3.3.1.5.1	2	4.2.1.4.5.3.7.3.2.8.2.3.2.4.2	1
3.4.2.2.2.6.1.2.6.2.3.1.5.2	2	3.4.2.3.5.1.1.2.2.7.3.2.2.2.2	1
4.7.3.9.2.1.2.2.8.6.8.1.6.1	1	2.2.2.4.7.3.9.3.2.4.3.3.4.2	1
2.4.3.4.5.4.7.3.3.7.2.3.8.6.4	1	3.4.2.3.2.3.5.3.2.8.2.3.2.5.2	1
4.2.2.3.2.2.6.1.2.8.4.3.2.4.2	1	4.2.2.4.5.3.7.4.2.8.2.0.3.4.2	1
3.3.2.3.3.2.3.4.4.8.4.3.2.3.2	1	3.4.2.4.2.3.6.3.2.5.2.0.2.5.2	1
3.4.2.3.2.2.6.3.2.8.2.3.2.5.4	1	3.4.2.3.4.1.1.2.2.4.3.2.2.2.2	1
4.2.2.5.6.2.6.3.2.5.2.3.2.4.4	1	3.4.2.3.3.3.5.1.4.5.2.4.2.2.2	1
3.4.2.3.2.2.6.3.2.3.2.3.2.5.3	1	4.4.2.4.3.3.5.3.6.8.3.4.3.4.2	1
3.4.2.3.2.2.6.3.2.6.2.3.2.5.1	1	3.4.2.3.6.3.5.1.3.4.2.4.0.3.1	1
3.2.2.2.2.4.3.5.5.2.2.2.7.0	1	2.4.2.3.2.1.1.2.2.4.4.2.2.2.1	1
3.4.2.3.2.3.4.3.2.7.2.3.2.5.8	1	2.4.2.3.6.3.5.3.2.7.2.3.1.5.1	1
4.2.2.4.6.3.6.3.2.8.2.3.2.4.2	1	2.4.2.2.2.3.5.2.3.5.2.3.1.2.1	1
4.2.2.3.4.3.5.3.2.3.4.3.2.4.2	1	2.2.2.4.2.3.7.3.2.4.4.3.2.4.1	1
3.4.2.3.2.3.4.3.2.3.2.3.2.5.3	1	2.7.2.3.5.1.5.3.2.8.2.3.1.3.1	1
3.2.3.3.2.3.5.0.2.5.2.0.2.5.3	1	4.5.2.3.3.1.1.3.2.6.4.3.2.3.1	1
3.4.2.3.2.3.5.3.2.2.2.3.2.5.3	1	2.4.2.2.1.3.4.3.2.7.2.3.1.3.2	1
4.4.2.3.2.3.4.1.3.2.2.2.3.3	1	2.2.2.4.3.4.6.3.2.6.3.3.2.3.3	1
3.4.2.3.2.3.0.5.5.3.5.2.2.1	1	4.4.2.2.1.3.5.3.2.7.2.4.1.3.2	1
3.5.2.3.2.3.5.0.2.7.3.3.2.3.1	1	3.4.2.2.1.3.6.3.2.6.2.3.1.4.2	1
2.4.2.3.3.2.5.2.1.4.3.3.2.2.1	1	3.4.2.2.1.3.5.3.2.7.2.3.1.5.2	1
2.4.2.3.3.2.5.3.3.5.3.4.2.2.1	1	4.4.2.2.2.3.5.2.3.4.2.4.1.3.2	1
2.2.2.4.6.3.9.3.2.4.4.3.3.4.1	1	3.4.2.2.1.3.5.3.2.7.2.3.1.3.2	1
3.5.2.3.3.3.5.2.3.7.3.4.1.3.1	1	4.2.2.4.3.3.7.3.2.6.2.3.3.4.1	1
3.4.2.3.3.3.4.3.5.5.3.3.1.2.1	1	2.2.2.4.6.3.9.3.2.4.4.3.3.4.3	1
3.4.2.3.2.3.5.3.2.8.3.3.1.5.1	1	3.4.2.2.1.3.5.3.2.6.2.3.0.5.2	1
2.4.2.3.3.3.5.2.2.4.3.3.1.2.1	1	2.4.2.2.1.3.5.0.2.7.2.3.1.5.2	1
4.4.3.3.3.3.5.3.3.5.3.1.2.1.1	1	2.4.2.3.3.7.3.3.5.3.9.3.2.2	1
3.4.2.3.2.3.6.1.2.7.3.3.1.5.1	1	3.4.2.2.2.1.5.3.4.5.2.8.1.2.2	1
3.4.2.3.0.3.5.3.2.2.3.2.1.4.1	1	3.4.2.2.1.3.5.2.2.6.2.3.1.5.1	1
4.3.2.3.2.3.4.2.3.4.3.2.1.3.1	1	4.2.2.3.6.3.7.2.2.7.2.3.1.4.3	1
3.4.2.3.2.3.6.3.2.8.3.3.1.5.2	1	2.4.2.2.3.1.1.0.2.7.4.3.1.3.1	1
3.4.2.3.5.2.1.1.2.7.3.3.2.2.3	1	4.2.2.4.4.3.7.3.2.3.4.3.2.4.3	1
4.2.2.3.5.3.6.3.2.7.3.4.2.4.3	1	3.4.2.2.2.2.6.3.2.6.2.3.1.5.2	1
3.2.2.4.5.2.6.3.2.7.2.1.2.4.2	1	3.4.2.2.2.3.6.3.2.6.2.3.1.5.2	1
3.4.2.3.2.2.5.3.4.5.2.3.2.2.2	1	3.2.2.4.5.1.5.3.2.6.2.3.1.6.3	1
3.5.2.3.2.3.5.3.2.7.2.6.2.5.2	1	3.0.2.4.2.1.5.0.2.6.2.3.1.6.1	1
3.4.2.3.2.3.4.3.3.8.2.3.2.3.2	1	3.2.2.4.5.2.5.3.2.6.2.3.1.6.4	1
3.4.2.3.2.3.6.3.2.7.2.3.2.5.2	1	4.2.2.4.5.2.6.3.2.3.4.3.2.4.4	1

MIRU Pattern : ETR A, ETR C, MIRU 04, ETR E, MIRU 10, MIRU 16, MIRU 26, MIRU 40, QUB11b, QUB 26, MTUB 30, MTUB 39, MTUB 04, MTUB 21, QUB4156

مقایسه‌ای که بین الگوهای به دست امده از 15 لوکوس با پایگاه داده ای MIRU-VNTR سازمان

جدول شماره 3: تنوع آلی لوکوس های مورد مطالعه به روش MIRU-VNTR

اتواع آلی ها	<i>ETRA</i>	<i>ETRC</i>	<i>MIRU 04</i>	<i>ETRE</i>	<i>MIRU 10</i>	<i>MIRU 16</i>	<i>MIRU 26</i>	<i>MIRU 40</i>	<i>QUB1b</i>	<i>QUB 26</i>	<i>MTUB 30</i>	<i>MTUB 39</i>	<i>MTUB 04</i>	<i>MTUB 21</i>	<i>QUB4156</i>
0	-	1	-	-	1	-	-	6	-	-	-	3	2	-	1
1	-	-	1	-	8	9	7	8	1	-	-	2	32	1	28
2	17	21	75	16	33	19	-	12	60	3	45	7	38	14	33
3	44	2	4	43	15	50	2	52	11	5	23	55	7	15	12
4	19	50	-	19	3	2	8	2	4	11	11	8	-	19	5
5	-	4	-	1	11	-	31	-	3	13	-	1	-	25	-
6	-	-	-	-	7	-	21	-	1	14	1	1	-	5	-
7	-	2	-	1	1	-	8	-	-	21	-	-	-	11	-
8	-	-	-	-	-	-	-	-	-	13	-	2	1	-	1
9	-	-	-	-	1	-	3	-	-	-	-	1	-	-	-
HGDI	0/6	0/5	0/1	0/2	0/7	0/5	0/7	0/5	0/4	0/8	0/5	0/5	0/6	0/7	0/6
کل	3	6	3	5	9	4	7	5	6	7	4	9	5	7	6

HGDI total: 0.99 (HGDI, Hunter-Gaston discriminatory index.)

## بحث

در ایران بلکه در جهان می باشد. روش تابیینگ MIRU-VNTR که در این مطالعه مورد استفاده قرار گرفت، قدرت افتراقی بسیار بالایی را برای همه ایزوله نشان داد و میزان HGDI برابر با 0/99 بود. قدرت افتراقی که در مطالعه ما به دست آمد، با میزان قدرت افتراقی که در مطالعه‌ای که توسط زمانی و همکاران انجام یافته بود تقریباً مشابه بود. در مطالعه ما 76 ایزوله دارای الگوهای غیر مشابه بودند و این نتایج عکس نتایجی بود که در مطالعه زمانی و همکارانش گزارش شده بوده است (13).

در مطالعه‌ای که توسط محمد عسگرزاده و همکاران انجام یافته بود، 95 مورد از ایزوله‌های مورد بررسی دارای الگوهای ژنتیکی غیر مشابهی بودند و این گزارش تقریباً مشابه نتیجه‌ای است که در مطالعه ما به دست آمد. اما در این مطالعه بزرگ‌ترین کلاستر شامل 9 ایزوله بوده است و از این نظر مشابهی با نتیجه مطالعه ما نداشته است (24). در مطالعه ما، لوکوس QUB26 بیشترین قدرت افتراقی راهنمراه با 7 آلی نشان داد (HGDI: 0/833) و بعد از این لوکوس نیز، لوکوس‌های MIRU10 (HGDI: 0/765) و MTUB21 (HGDI: 0/785) و MIRU26 (HGDI: 0/760) قرار داشتند، اما در

مايكروباكتريوم توبيركلوزيس عامل اصلی يمارى سل بوده و به عنوان اولين عامل مرگ و مير ناشي از يمارى های عفونى مطرح مي باشد (1). براساس گزارش سازمان بهداشت جهانی (WHO)، هر ساله به طور متوسط در کشور ايران از هر 100 هزار نفر، بيش از 20 نفر به يمارى سل مبتلا مي شوند (2). کشور ايران به دليل ورود مهاجران زيادي از کشورهای مرzi و تجمع اين مهاجران در شهرهای بزرگ مثل تهران و ريسک فاكتورهای ديگري مثل تراكم جمعيتي بالا و كمبود امكانات بهداشتی و مراقبتی، يك ناحيه استراتژيک برای جلوگيري و کنترل انتقال يمارى سل در اين منطقه محسوب مي شود (6). در مطالعه حاضر، 80 سویه مايكروباكتريوم توبيركلوزيس از يماران بستری در يكى از مراكز آموزشي شهر تهران جدا گردیده و با استفاده MIRU-VNTR 15-locus و IS6110 از روش های الگوهای ژنتيکي شان را مورد بررسی قرار داديم. مشخص کردن دودمان ژنتيکي ایزوله‌های مايكروباكتريوم توبيركلوزيس در شهر تهران، می تواند در مطالعات بعدی جهت مشخص کردن زنجيره انتقال مايكروباكتريوم توبيركلوزيس مورد استفاده قرار گيرد که اين امر يك فاكتور کليدي در کنترل يمارى سل نه تنها

درمان عفونت‌های پنهان و مخفی مایکوپاکتریوم توبرکلوزیس به عنوان یک استراتژی کنترلی در نواحی که بیماری به صورت اندمیک وجود دارد در نظر گرفته شود(26). علاوه بر این، از آن جایی که غالب بیمارانی که به شهر تهران مراجعه می‌کنند از مناطق و شهرهای مختلف کشور هستند، قابل پیش‌بینی بود که الگوهای ژنتیکی متفاوت باشد و همان‌طور که قبل ایام شده غالب سویه‌ها در این مطالعه دارای الگوهای غیر مشابه بودند. با فرض این که مقاومت دارویی در سویه‌های مختلف دارای الگوهای مشابه نیست، زمانی که چنین الگوی ژنتیکی از ژنتوتایپ بندی ایزوله شده باشد می‌آید، می‌توان عنوان کرد که خطر مقاومت دارویی گسترده در جامعه وجود دارد. با توجه به نتایج مطالعه ما و بررسی‌هایی که توسط افراد مختلف در مناطق مختلفی انجام یافته است، می‌توان پیشنهاد داد که یک پایگاه داده‌ای واحد، مشابه پایگاه داده‌ای جهانی در کشور ایران به خصوص شهر تهران، جهت پایش و ارزیابی بیماران و سویه‌های در حال گردش در جامعه ایجاد گردد.

## سپاسگزاری

این مقاله برگرفته از پایان نامه دوره کارشناسی ارشد دانشگاه علوم پزشکی شهید بهشتی به شماره ثبت ۱۱۰ می‌باشد.

مطالعه‌ای که توسط Wei Lu و همکاران در کشور چین انجام یافت، نتایج هیچ مشابهی با نتایج بررسی ما نداشته و بیان شده که لوکوس (HGDI: 0/734) QUB11b بیشترین قدرت تمایز را در بین سایر لوکوس‌ها دارد(25). نکته جالب در نتایج بررسی‌های ما این بود که غالب سویه‌هایی که ما مورد مطالعه قرار دادیم دارای الگوهای غیر مشابه بودند و احتمالاً این موضوع بیان‌گر این است که این ایزوله به تازگی در بین بیماران انتشار یافته است، اما میزان قرار گیری سویه‌ها در کلاسترها مشخص در مطالعه ما ۵ درصد و ۴ ایزوله بوده و این موضوع تأکید می‌کند که شیوع بیماری در غالب مواردی ناشی از عود مجدد این سویه‌ها بوده است. مواردی مانند تراکم جمعیت بالا، بیماری‌های اندمیک، شیوع بیماری ایدز در شهر تهران که به عنوان رسیک فاکتور مطرح می‌باشد می‌تواند در انتشار و انتقال بیماری سل نقش داشته باشند. مشابه نتایج مطالعه‌ای که توسط Loubna Tazi انجام یافته بود، غالب بیماری در جامعه می‌تواند ناشی از فعالیت مجدد و عود عفونت‌های مایکوپاکتریوم توبرکلوزیس نسبت به انتقال اخیر بیماری باشد. اگر این نتایج صحیح باشند و بیشتر بیماری‌های ایجاد شده به دلیل عود عفونت باشد، تاثیر احتمالی و کم انتقال بیماری و عنوان کردن این مطلب که شیوع بیشتر بیماری در جامعه به دلیل فعالیت مجدد می‌باشد می‌تواند توسط برنامه‌های کنترلی و مدیریت بیماری به میزان زیادی تحت تاثیر قرار بگیرد. شاید در آینده

## References

- Mbugi EV, Katala BZ, Siame KK, Keyyu JD, Kendall SL, Dockrell HM, et al. Genetic diversity of *Mycobacterium tuberculosis* isolated from tuberculosis patients in the Serengeti ecosystem in Tanzania. *Tuberculosis*. 2015; 95(2): 170-178.
- World Health Organization (WHO). *Global Tuberculosis Report. 20<sup>th</sup> ed.* 2015. 2015.
- World Health Organization: Western Pacific Region. Regional Strategy to stop tuberculosis in the western pacific (2011–2015). 2010.
- Organization, W.H., *Global tuberculosis report 2015*. 2015. 2.
- Zamani S, Haeili M, Nasiri MJ , Imani Fooladi AA, Javadpour S, Feizabadi MM.

- Genotyping of *Mycobacterium tuberculosis* isolates from Hormozgan province of Iran based on 15 locus MIRU-VNTR and spoligotyping. International Journal of Bacteriology. 2016; (2016). (persian).
6. Feyisa SG, Haeili M, Zahednamazi F, Mosavari N, Taheri MM, Hamzehloo G, et al. Molecular characterization of *Mycobacterium tuberculosis* isolates from Tehran, Iran by restriction fragment length polymorphism analysis and spoligotyping. Rev Soc Bras Med Trop. 2016; 49(2):204-410.
  7. Singh M, Mynak M, Kumar L, Mathew JL, Jindal SK. Prevalence and risk factors for transmission of infection among children in household contact with adults having pulmonary tuberculosis. Arch Dis Child. 2005; 90(6): 624-628.
  8. Farnia P, Mohammadi F, Masjedi MR, Varnerot A, Zarifi AZ, Tabatabee J, et al. Evaluation of tuberculosis transmission in Tehran: using RFLP and spoligotyping methods. Journal of Infection. 2004; 49(2): 94-101.(persian).
  9. Mozafari M, Farnia P, Afraei M, Derakhshani-Nezhad Z, Masjedi MR, Velayati AA. Molecular diversity of *Mycobacterium tuberculosis* strains in different provinces of Iran. Iran J Microbiol. 2013;5(4):366-373.(persian).
  10. Haeili M, Darban Sarokhalil D, Fooladi AAI, Javadpour S, Hashemi A, Siavoshi F, et al. Spoligotyping and drug resistance patterns of *Mycobacterium tuberculosis* isolates from five provinces of Iran. Microbiologyopen. 2013;2(1):988-996.
  11. Barnes PF, Cave MD. Molecular epidemiology of tuberculosis. New Engl J Med. 2003; 349(12): 1149-1156.
  12. Van Soolingen D, Kremer K, Vynnycky E. New perspectives in the molecular epidemiology of tuberculosis. *Mycobacteria and TB*. Vol 2: Karger Publishers; 2004. pp. 17-45.
  13. Zamani S, Haeili M, Nasiri MJ, Imani Fooladi AA, Javadpour S, Feizabadi MM. Genotyping of *Mycobacterium tuberculosis* Isolates from Hormozgan Province of Iran Based on 15-Locus MIRU-VNTR and Spoligotyping. Inte J Bacteriol. 2016; 2016: 7146470.
  14. Kato-Maeda M, Small PM. How molecular epidemiology has changed what we know about tuberculosis. West J Med. 2000; 172(4):256-259.
  15. Easterbrook PJ, Gibson A, Murad S, Lamprecht D, Ives N, Ferguson A, et al. High rates of clustering of strains causing tuberculosis in Harare, Zimbabwe: a molecular epidemiological study. J Clin Microbiol. 2004;42(10): 4536-4544.
  16. Pourostadi M, Rashedi J, Poor BM, Kafil HS, Shirazi S, Asgharzadeh M. Molecular Diversity of *Mycobacterium tuberculosis* Strains in Northwestern Iran. Jundishapur J Microbiol. 2016;9(1): e35520. (persian).
  17. Sougakoff W. Molecular epidemiology of multidrug resistant strains of *Mycobacterium tuberculosis*. Clin Microbiol Infect. 2011; 17(6):800-805.
  18. McEvoy CR, van Pittius NCG, Victor TC, van Helden PD, Warren RM. The role of IS6110 in the evolution of *Mycobacterium tuberculosis*. Tuberculosis (Edinb). 2007; 87(5): 393-404.
  19. Sun Y-J, Bellamy R, Lee AS, Ng ST, Ravindran S, Wong S-Y, et al. Use of mycobacterial interspersed repetitive unit-

- variable-number tandem repeat typing to examine genetic diversity of *Mycobacterium tuberculosis* in Singapore. *J Clin Microbiol.* 2004; 42(5): 1986-1993.
20. Teixeira Dantas NG, Suffys PN, Carvalho WS, Gomes HM, de Almeida IN, de Assis LJ, et al. Genetic diversity and molecular epidemiology of multidrug-resistant *Mycobacterium tuberculosis* in Minas Gerais State, Brazil. *BMC Infectious Diseases.* 2015; 15(1):306.
21. Skuce RA, McCorry TP, McCarroll JF, Roring SM, Scott AN, Brittain D, et al. Discrimination of *Mycobacterium tuberculosis* complex bacteria using novel VNTR-PCR targets. *Microbiology.* 2002; 148(pt 2): 519-528.
22. Mazars E, Lesjean S, Banuls AL, Gilbert M, Vincent V, Gicquel B, et al .High-resolution minisatellite-based typing as a portable approach to global analysis of *Mycobacterium tuberculosis* molecular epidemiology. *Proc Natl Acad Sciences USA.* 2001; 98(4): 1901-1906.
23. Supply P. Multilocus variable number tandem repeat genotyping of *Mycobacterium tuberculosis*: Technical Guide. Institut de Biologie, 2005.
24. Asgharzadeh M, Kafil HS, Roudsary AA, Hanifi GR. Tuberculosis transmission in Northwest of Iran: using MIRU-VNTR, ETR-VNTR and IS6110-RFLP methods. *Infect Genet Evol.* 2011; 11(1):124-131.
25. Lu W, Lu B, Liu Q, Dong H, Shao Y, Jiang Y, et al. Genotypes of *Mycobacterium tuberculosis* isolates in rural China: using MIRU-VNTR and spoligotyping methods. *Scand J Infect Dis.* 2014;46(2):98-106.
26. Tazi L, El Baghdadi J, Lesjean S, Locht C, Supply P, Tibayrenc M, et al. Genetic diversity and population structure of *Mycobacterium tuberculosis* in Casablanca, a Moroccan city with high incidence of tuberculosis. *J Clin Microbiol.* 2004; 42(1): 461-466.